

# 成層密度流の境界面附近の乱れに関する研究

東北大学教授 正員工博 岩崎 敏夫  
東北大学大学院学生員 ○宮野 一彦

## 1. まえがき

この研究は混合する二つの流体、淡水と塩水（食塩を溶解したもの）の間の接触領域近くでの流れに関するものである。最初静止している塩水の上を一定流速をもって淡水を流し、平衡状態に達した場合には二層は明瞭な接觸面を生じる。二の接觸面には剪断応力が発生する。岩崎教授は剪断抵抗係数としてなる量を規定し、 $\lambda_1 = \frac{C}{\rho_1 u_{\bar{A}}^2}$  と置いた。ここで  $\rho_1$  は上層の密度であり、 $u_{\bar{A}}$  は上層の平均流速である。ここで又  $\psi = (\rho_1)^{\frac{1}{2}}$  なる量を規定した。内部剪断応力はエネルギー損失を引き起すものであるから、 $\psi$  とある関係がなければならぬ。この二者の間の関係式を岩崎教授は  $\lambda_1 = 3.940 \cdot \psi^{-0.8356}$  とした。この式の妥当性を実験的に立証する事がこの研究の一つの目的であり、さらに流速分布、濃度分布について報告する。

## 2. 理論

密度が  $\rho_1$  である淡水が静止している

密度が  $\rho_2$  である塩水の上を流れると時には

淡水と塩水中の乱流拡散のために運動

量の交換が起る。右図にありて影響領域は

OB と OC と仮定する。OB 軸上の本流速度は  $u_0$  に等しい。又 OC 軸上の本流速度は零である。

OB と OC の間の領域中で速度は漸次変化する。

密度は OA と OB の間の領域中では大体一定である。OA と OC の間の領域中では密度は漸次変化する。

そこで剪断応力をとして  $\tau = \rho_1 l^2 / \frac{du}{dy}^2$  とする。ここで  $l$  はプラントルの混合距離であり、接觸開始高さからの本流距離に比例すると仮定する。即ち  $l = Cz$  ( $C$  は実験定数) とする。

### ① AOB 領域中の乱流

$$\text{運動方程式は } U \frac{\partial U}{\partial x} + V \frac{\partial U}{\partial y} = - \frac{1}{\rho} \frac{\partial P}{\partial x} - ②$$

$$\text{ここで } U = \frac{u}{u_0} = f(\eta) = F(\eta) - ③ \text{ とおく。}$$

$\eta$  は接觸面に垂直にとった。流れ関数  $\psi = \int f(\eta) dy = x f(\eta) = x F(\eta) - ④$  を導入すると

$$② の方程式は  $F + 2C^2 F'' = 0 - ⑤$$$

境界条件は  $\eta = \eta_1$  のとき  $F(\eta_1) = \eta_1$ ,  $F'(\eta_1) = 1$ ,  $F''(\eta_1) = 0$  }  $- ⑥$

$$\eta = 0$$
 のとき  $F(0) = \frac{u_0}{u_0} = U_s$ ,  $F'(0) = \frac{\sqrt{\rho_2}}{C}$

ここで  $U_s$  は OA 軸上の速度である。⑤の方程式に  $\eta = \frac{y}{\sqrt{\rho_2}}$  と置きその一般解を求めると、

$$F = A e^{-\frac{y}{C}} + B e^{\frac{y}{C}} \cos \frac{\sqrt{3}}{2} \eta + C e^{-\frac{y}{C}} \sin \frac{\sqrt{3}}{2} \eta - ⑦$$

$$U = \frac{u_0}{u_0} = - A e^{-\frac{y}{C}} + \frac{1}{2} (B + C) e^{\frac{y}{C}} \cos \frac{\sqrt{3}}{2} \eta - \frac{1}{2} (B - C) e^{\frac{y}{C}} \sin \frac{\sqrt{3}}{2} \eta - ⑧$$

$$\text{ここで } A = d e^{-\frac{y}{C}} (\eta_1 - 1), B = d e^{\frac{y}{C}} [(1 + 2C^2) E_c - \sqrt{3} F_c], C = d e^{\frac{y}{C}} [(\sqrt{3} F_c + (1 + 2C^2) E_c] E_c e^{-\frac{y}{C}} \cos \frac{\sqrt{3}}{2} \eta, F_c e^{-\frac{y}{C}} \sin \frac{\sqrt{3}}{2} \eta,$$

$$\eta^* = \eta / \sqrt{C^2}, \alpha = \frac{1}{2} \cdot \sqrt{C^2}$$

#### ④ AOC領域中の自由乱流

AOC領域中で密度は漸次変化するから②の方程式中のPは変数である。そうすると①の方程式から  $\frac{1}{\eta^*} \frac{\partial F}{\partial \eta^*} = \frac{C^2 F''}{2} (F'' P' + 2F'^2 P) - ⑦, P' = \frac{dP}{d\eta^*}$  である。③の式より,  $F + 2C^2 F'' + C^2 \frac{\partial^2 P}{\partial \eta^*} F' = 0 - ⑧$

境界条件は  $\eta=0^*$ ,  $F(0)=U_s$ ,  $F'(0)=\sqrt{C}/C$ ,  $\eta=\eta_2^*$ ,  $F(\eta_2^*)=0$ ,  $F'(\eta_2^*)=0$  である。 $\eta_2^*$  は下層境界OCを示す。

次に一次元拡散方程式は  $U_s \frac{\partial \eta^*}{\partial x} + \eta^* \frac{\partial^2 \eta^*}{\partial x^2} = \frac{2}{3} (F'' \frac{\partial \eta^*}{\partial x}) + \frac{2}{3} (F' \frac{\partial^2 \eta^*}{\partial x^2}) - ⑨$  S: 墓地濃度,  $E_S = E_F \sqrt{C^2}$ ,  $E_F$ : 水平方向拡散係数,  $E_F$ : 鉛直方向拡散係数である。密度Pと墓地濃度Sの関係は  $P = P_1(1+qS) - ⑩$

⑨の式より,  $\frac{\partial^2 \eta^*}{\partial x^2} = -\frac{1}{C^2} [F'' + \frac{1}{C^2} \frac{\partial F}{\partial \eta^*} F' + \frac{2}{C^2} F'^2] - ⑪$  ⑩の式より  $P = -\frac{P}{C^2 F} (F + 2C^2 F') - ⑫$   $P = \frac{dP}{d\eta^*} = P' = 2C^2 F$  である。

⑪の式をPに微分すると  $\frac{\partial^2 P}{\partial \eta^*} = -\frac{1}{C^2} (F + 2C^2 F') - ⑬$  ⑫, ⑬の両式より  $C^2 \frac{\partial^2 P}{\partial \eta^*} + \frac{2C^2}{C^2} F' - \frac{2C^2}{C^2} F^2 = 0 - ⑭$   $\eta = \sqrt{C^2} \eta^*$  と置く

⑭の方程式は  $\frac{\partial^2 P}{\partial \eta^*} = -\frac{C^2 \eta^*}{1+C^2 \eta^*} F' - \frac{2}{1+C^2 \eta^*} F^2 + F = 0$ , 境界条件は  $\eta=0^* = 0.112$ ,  $\frac{\partial P}{\partial \eta^*} = \sqrt{C} U_s$ ,  $\frac{\partial F}{\partial \eta^*} = \sqrt{C} \sqrt{C}$ ,  $\eta_2^* = \eta_2 = 0.112$ ,  $\frac{\partial F}{\partial \eta^*} = 0$ ,  $\frac{\partial F}{\partial \eta^*} = 0$ , 一般解を被験解とおき,  $F = A_1 + A_2 \eta^* + A_3 \eta^{*2} + A_4 \eta^{*3} + A_5 \eta^{*4}$ , 未定係数を求めて  $A_0 = \frac{K}{2 \sqrt{C} (3 + \alpha \eta_2^*)}$

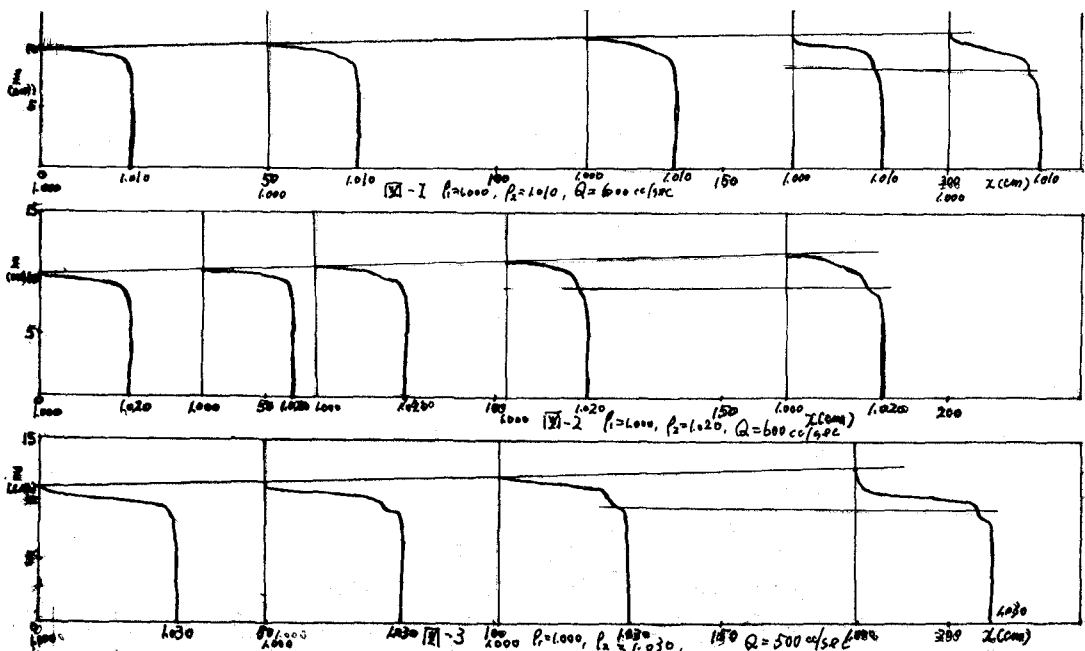
$$A_1 = U_s = \sqrt{C^2} U_s, A_2 = \frac{1}{2} K = \frac{1}{2} \sqrt{C} \sqrt{C}, A_3 = C^3, K = \sqrt{C} \sqrt{C}$$

$$U = \frac{u}{u_0} = \frac{dP}{d\eta^*} = \frac{1}{\sqrt{C}} \frac{dP}{d\eta^*} = U_s [1 + W \left( \frac{\eta^*}{\eta_2^*} \right)^* - \frac{1}{\eta_2^*} W + \left( \frac{\eta^*}{\eta_2^*} \right)^* + \frac{2}{3} W C^2 \sqrt{C} \eta^* + \frac{1}{\eta_2^*} W C^2 \sqrt{C} \left( \frac{\eta^*}{\eta_2^*} \right)^*] - ⑯$$

$$\text{ここで } W = \frac{1}{U_s} \text{ 游泳度}, \left( \frac{\eta^*}{\eta_2^*} \right)^* = \frac{(1 + \alpha \eta_2^*)^6}{2 \sqrt{C} (3 + \alpha \eta_2^*)} = \frac{2 \sqrt{C} + 3 \alpha \sqrt{C} + 6}{2 \sqrt{C} (3 \sqrt{C} + 2 \alpha \sqrt{C})} \quad (\eta_2^* = \sqrt{C} \eta_2 = \frac{K}{\sqrt{C^2}})$$

### 3 実験

密度分布測定は溶液の電気抵抗変化により測定した。Pt線を3mm間隔で平行に設置したものとプローブとし、モーター駆動により下降せしめ、Pt線電極間の電気抵抗変化を連続的に測定記録した。流速分布測定は水路中に四塩化炭素ヒトルエンによつて比重を出るだけ水道本に近似せしめ、水路内に注入して生ずる液滴の流下速度を測定したとの結果を示すと、図-1, 2, 3, 4, 5, 6の様にみる。図1, 2, 3は密度の測定結果である。



#### 4. 実験についての考察

この実験はKeulegan数の範囲が0.155～0.406であり、安定限界値 $\beta_c=0.178$ よりも大きい場合とそれより小さい場合がある。同じ淡水流量であっても、それが小あるいは大になると不安定になります。不安定の場合には、淡水域の接觸面には碎波があるような内部波が観察された。特に $A=0.010$ ,  $Q=700 \text{ ccm/sec}$ の場合にその現象が著しかった。流下距離 $X$ が増すにつれて、中间層がはっきり濃度分布のデータに現れて、その層の厚さは略々3cm位である。流量が小さい時、又密度差が大きい時には一次接觸面と二次接觸面が存在する。流量が増すと、二次接觸面はなくなる。次に流速分布についてでは、淡水域の接觸面直後は接觸面が流速の不連続面にはならない。流下距離 $X$ が増すにつれて、流速不連続面は塩水層内に移動する。本実験装置では水路中央部では正流、両側壁近傍で逆流という現象が観察された。塩水部分の比重を淡水に近似して球を入れてやると、球全体が回遊する現象が観察された。流量が増すにつれて速度変動が大きくなる。

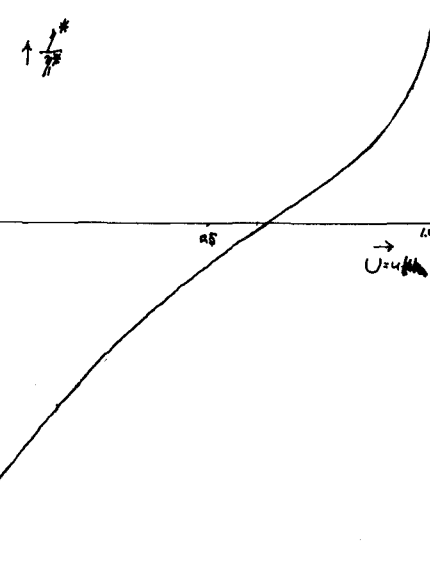


図-4  $\gamma_1 = 187.34$ ,  $\beta_1 = 0.372$   
塩界面流速分布

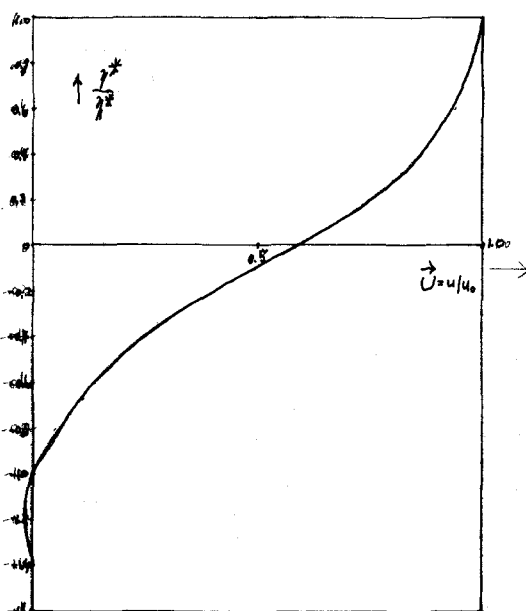


図-5  $\gamma_1 = 93.69$ ,  $\beta_1 = 0.1314$   
塩界面外流速分布

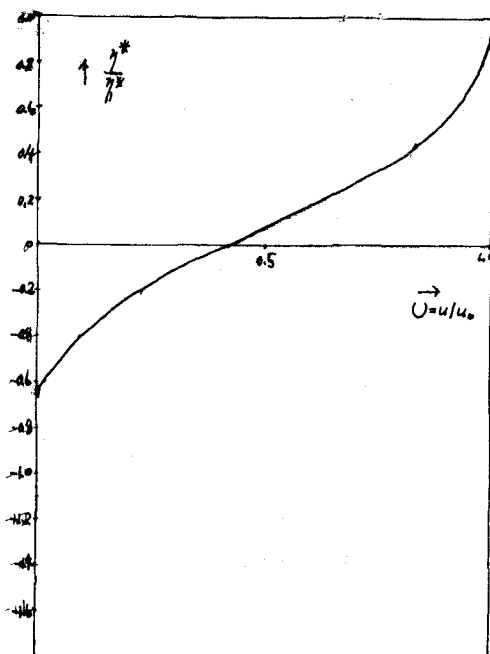


図-6  $\gamma_1 = 47.16$ ,  $\beta_1 = 0.1626$   
塩界面内流速分布

## 5.理論値との比較

実験定数である  $C$  を求めてみるとそのオーダーは  $10^{-4}$  である。Tollmien の場合には  $C=0.0174$  である。大部差が大きい様である。 $C$  のばらつきも著しい。せん断応力係数  $k_4$  と  $\psi$  の関係式  $k_4 = 3.940 \cdot \psi^{-0.8356}$  は大体満足する様である。 $k_4$  の値は流下距離との増加につれて大きくなる。又内部フルード数及び外部レイノルズ数の増加に従って減少する。又ある値に収束する事が予想出来る。境界層内の密度分布については  $\psi = 0.010, 0.020, 0.030, 0$  の場合には理論値は直線分布であるが、実測値は大部直線からはずれる様である。流速分布については接觸面流速では流下距離との増加に従って変化せず、定められた淡水流量に対して一定である。又内部せん断応力係数  $k_4$  が増大すると、接觸面流速は減少する。全実験を通じて  $\psi, k_4$  の値の理論値は実測値と比較すると大部大きい様である。境界層内の流速分布は流量が小さい場合には、理論値と実測値は大体合うけれども、流量が増大すると、実測値の方が早く零に収束する様である。 $\psi$  の値が大きいほど、又は  $k_4$  の値が小くなると境界層内の流速分布は下方に移動する様である。この事実は理論値、実測値とも傾向が一致している。

## 6.結論

実験定数  $C$  の値が Tollmien が求めた値と大部ちがつてこられる点がどんな影響によるのか考へて見ると必要があると思う。上流域附近は端に於ける turbulence の影響が大きいのでその減衰方程を考へる必要がある。又本実験装置では initial stage から established zone までの距離が短かすぎるようである。 $k_4$  の値の算定には側壁の影響を考慮に入れ計算してみる必要がある様である。実験施設のスケールの問題が今後の実験を進めるに当て重大であると思われる。それととの解明も今後の研究に待される。密度流中の渦動粘性係数は変化し、この変化をもたらすものが密度差にもとづく重力の影響であり、この重力の影響を含む無次元量が Richardson 数であるが、渦動粘性係数と Richardson 数間に定量的な関係を見出す事も現在計算中である。拡散係数に就ては未だ計算が終っていないけれども、全実験を通じ鉛直方向の拡散は大きい様に思われる。

## 7.引用文献

- 1). 岩崎敏夫：二成層密度流の乱流拡散について，土木学会，第19回年次学術講演会，1964
- 2). 岩崎敏夫：成層流における境界面のせん断応力について，Coastal Engineering, chapter 51
- 3). 岩崎，岸田，富岡：二成層密度流における密度混合について，第17回土木学会年次学術講演会<sup>1962</sup>
- 4). Shi-igui, H.: On the resistance coefficient at the interface between salt and freshwater, Trans. of J. S. C. E. No. 123, Nov. 1965.